

2023 하계 세미나

Convolution in 2020s and Self-Supervised Vision Learners



Sogang University

Vision & Display Systems Lab, Dept. of Electronic Engineering



Presented By

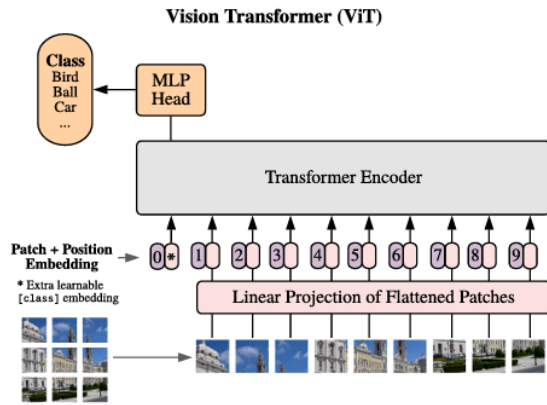
JoonKyu Kim

Index

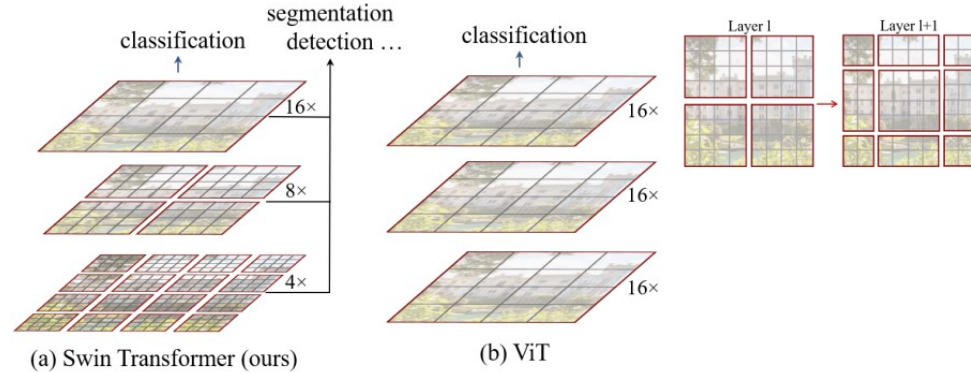
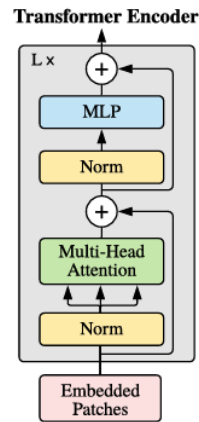
- Recent Transformers in the field of Image Restoration
 - Transformers in the field of High Dynamic Range Imaging
- ConvNeXt
 - A convnet for the 2020s (CVPR 2022)
- Masked Autoencoder
 - Masked Autoencoders Are Scaleable Vision Learners (CVPR 2022)
 - Learning Prior Feature and Attention Enhanced Image Inpainting (ECCV 2022)
- ConvNeXt V2
 - Convnext V2: Co-designing and scaling convnets with masked autoencoders (CVPR 2023)

Background

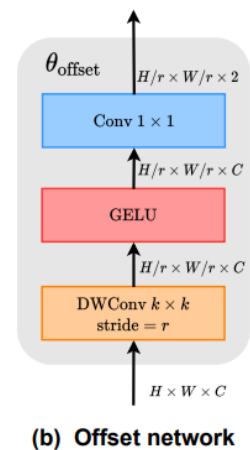
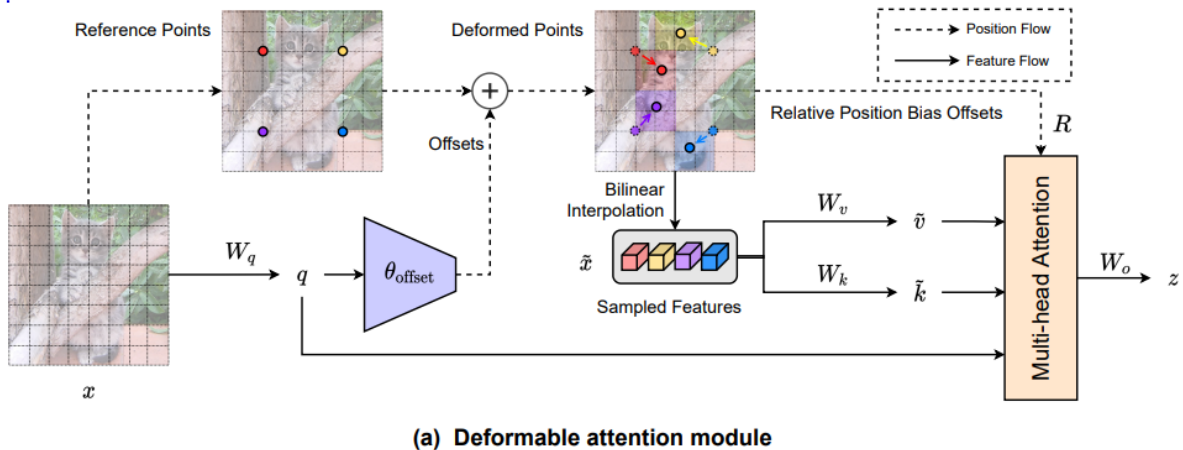
• ViT [1]



• Swin Transformer [2]

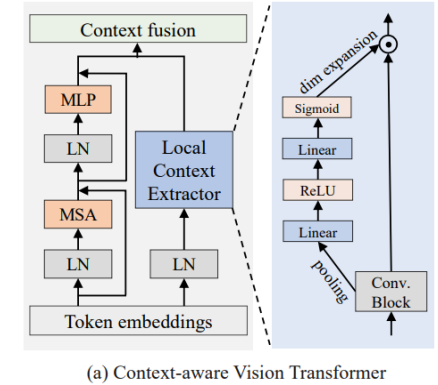
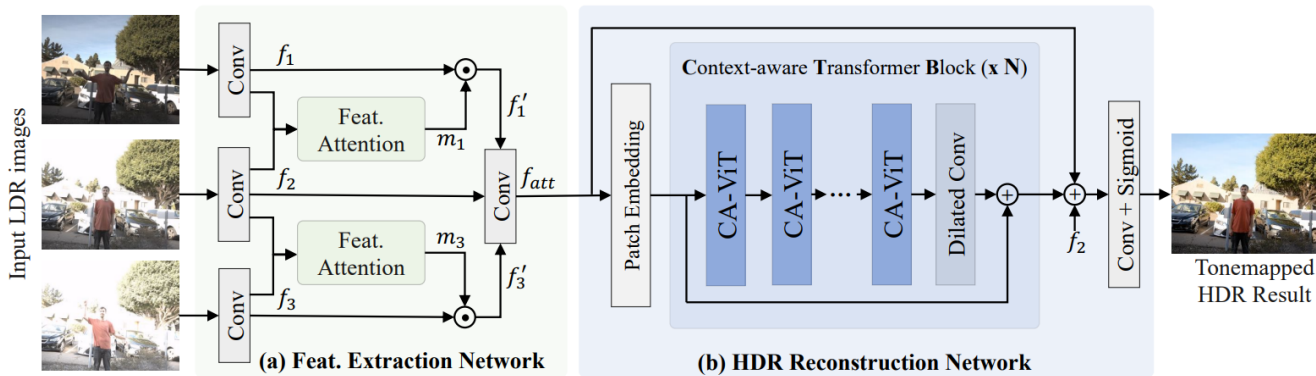


• DAT [3] (Deformable Attention Transformer)



In HDR...

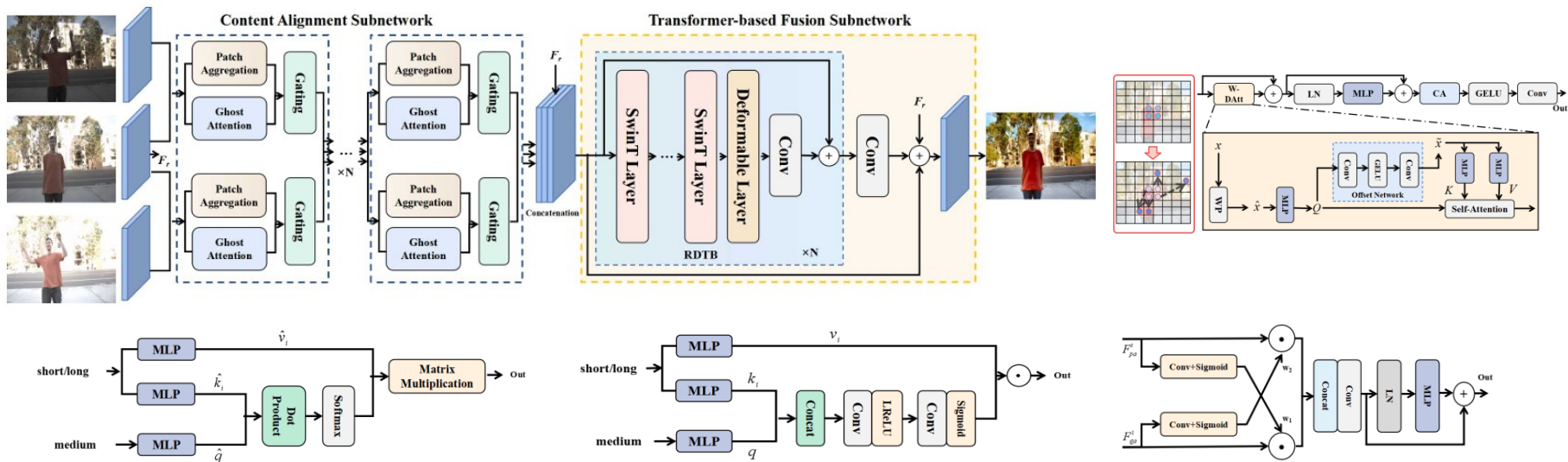
- Ghost-free High Dynamic Range Imaging with Context-aware Transformer (ECCV 2022)



- Batch size : 16 with four NVIDIA 2080Ti GPU (48GB / 16)
- Patch size : '8'
- Trained for 100 epochs

In HDR...

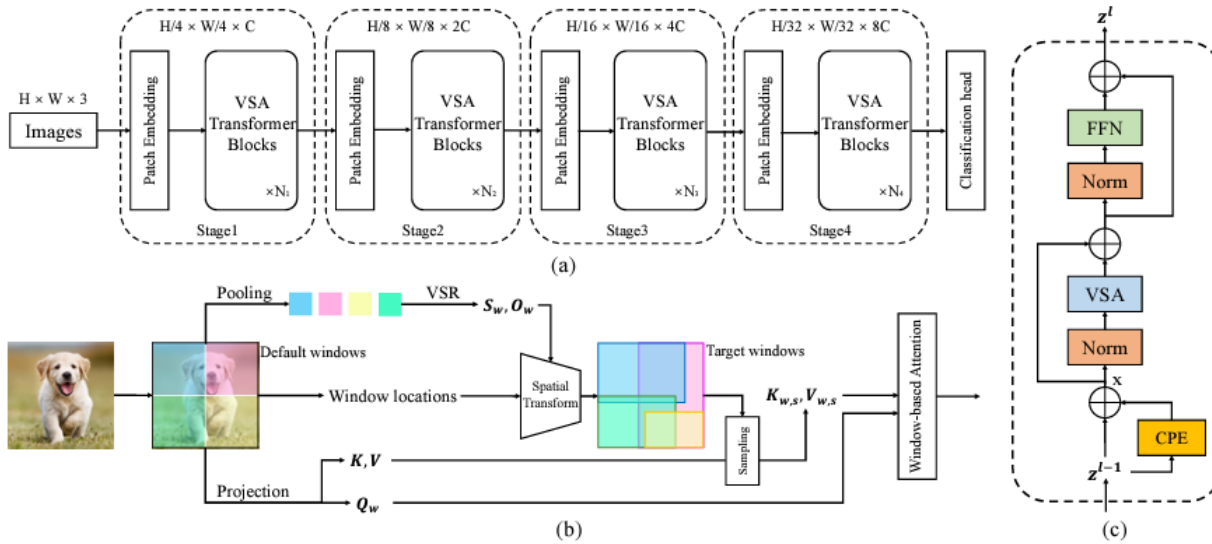
- A Unified HDR Imaging Method with Pixel and Patch Level (CVPR 2023)



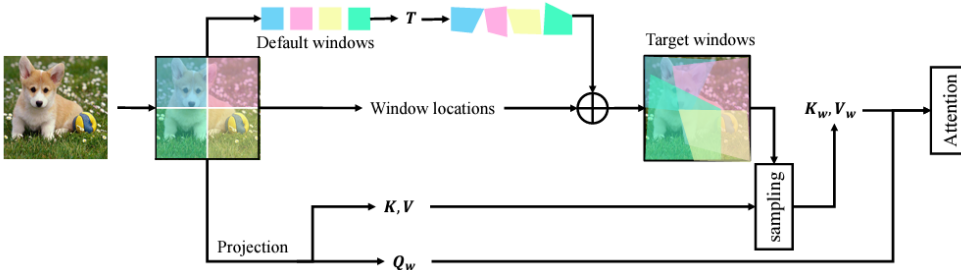
- Batch size : 4 with two NVIDIA RTX 3090 GPU (48GB / 4)
- Patch size : '8'
- Trained for 150 epochs
- What's next?
 - Another Transformers... More Params... More FLOPs...

Candidates

- ViTAE [1]

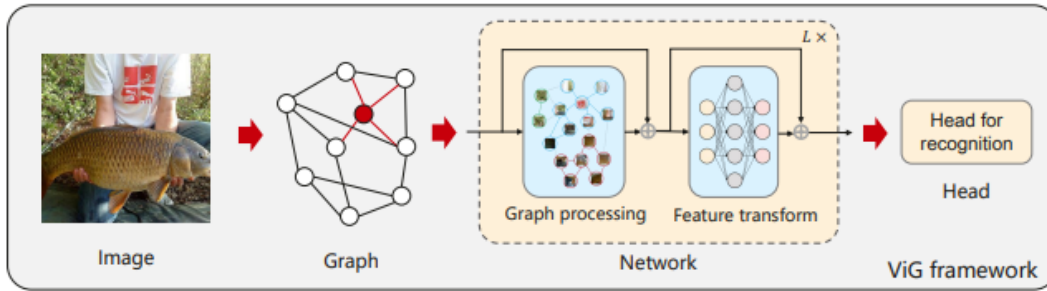


- QFormer [2]

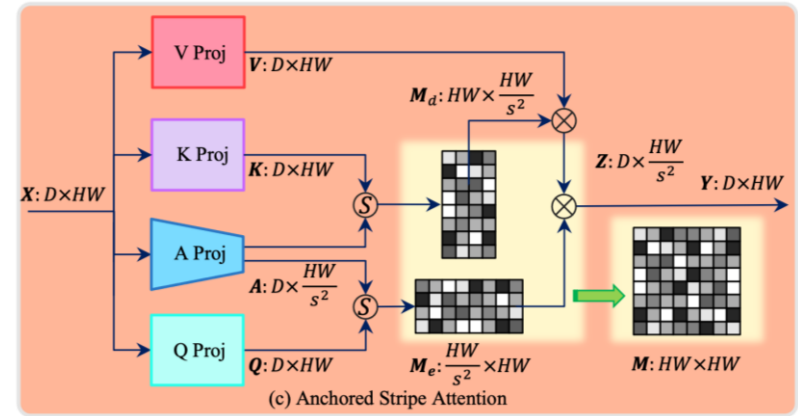
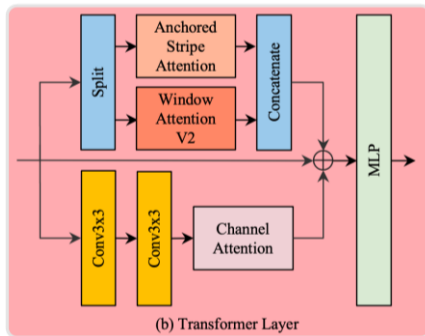
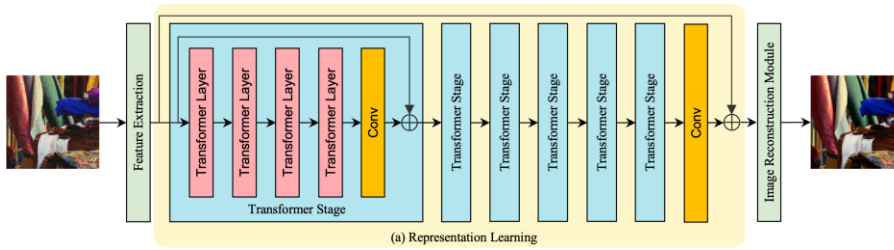


Candidates

- ViG [1]

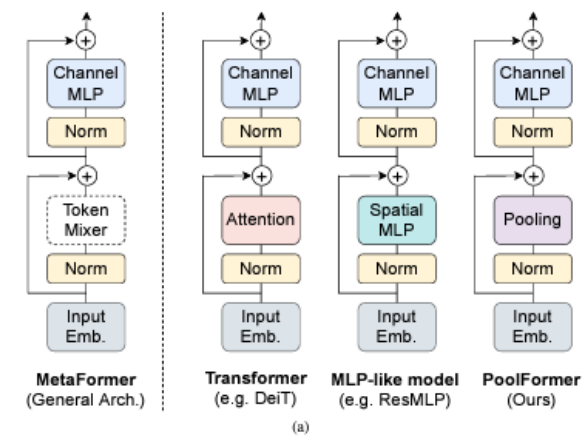


- GRL [2]



ConvNeXt [1]

- A ConvNet for the 2020s (CVPR 2022)
 - Convolutional Neural Network
 - Inductive bias
 - Computationally efficient
 - Stack multiple layers for wider receptive field



< PoolFormer^[3] >

Transformers

- Outperform standard ResNet^[1]
- Quadratic complexity w.r.t the input size
- Large receptive field

※ Receptive field를 제한하는 Swin Transformer 기반의 방법들을 중심으로 발전하였음

- ✓ 이는 결국 CNN의 ‘local한 부분을 본다’라는 개념이 포함된 Swin Transformer가 좋은 성능을 보일 수 있었던 것
- ✓ 결국 CNN이 meaningless하지 않다는 것을 보여줌

반대로 Transformer 구조를 ResNet [1]에 적용하여 성능 개선이 가능하지 않을까?

- ‘Convolutional network만 사용해서 어디까지 갈 수 있을까’

ConvNeXt [1]

- ResNet-50 : 76.1%

- Training epochs

- 기존 ResNet의 90 epochs 학습을 300 epochs 학습으로 변경
- AdamW optimizer 사용
- Data augmentation (Mixup, Cutmix, RandAugment, Random Erase)
- Regularization (Stochastic Depth, Label Smoothing)
- **76.1% → 78.8% (+2.7%)**

- Stage compute ratio 조정

- Swin-T의 각 stage에서의 block 수는 1:1:3:1
- 기존 ResNet의 stage별 block 구성 개수 변경
 - ※ $C = (96, 102, 384, 768), B = (3, 4, 6, 3) \rightarrow C = (96, 102, 384, 768), B = (3, 3, 9, 3)$
- **78.8% → 79.4% (+0.6%)**

ConvNeXt [1]

• Patchify stem

- ResNet : 7x7 conv (stride 2) 이후 max pooling 수행

※ Downsampling (4)

- ViT : non-overlapping convolution으로 patchify 수행

※ ViT : 14 or 16 정도의 큰 kernel size로 patchify 수행

※ Swin Transformer : patch size 4 정도의 작은 kernel size

- ResNet의 conv-maxpool을 4x4, stride 4의 convolution layer로 변경

- **79.4% → 79.5% (+0.1%)**

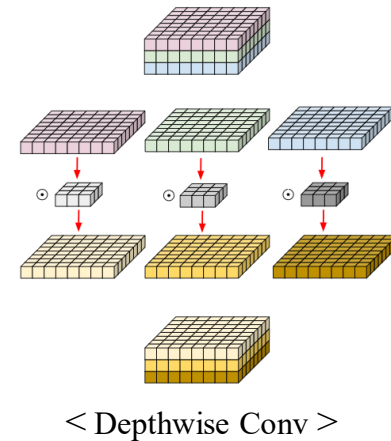
• ResNeXt-ify

- Channel width를 증가시키고, convolution group의 개수를 늘림

※ Group의 개수를 width까지 증가시켜 depthwise convolution을 사용함

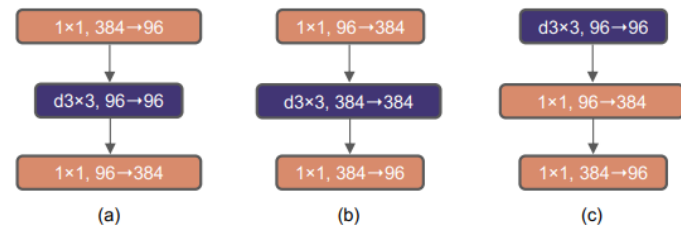
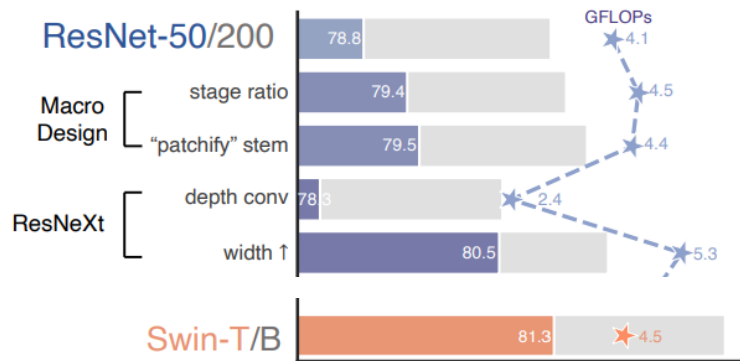
※ Channel, Group의 개수를 기존 64에서 Swin-T와 동일하게 96까지 증가시킴

- **79.5% → 80.5% (+0.6%)**



ConvNeXt [1]

- Depthwise Conv 적용으로 FLOPs 감소 / Channel width 증가로 FLOPs 증가
 - 목표는 Swin-T의 4.5GFLOPs와 동일한 수준으로 만드는 것



• Inverted Bottleneck

- ResNet의 bottleneck 구조는 dim을 4배 줄였다가 다시 확장하는 구조 (a)
- 이를 반대로 수행하여 Transformer에서 MLP 구조와 같이 4배 확장 후 다시 감소하는 형태로 변경하여 수행 (b)
- MLP 구조에서의 Linear layer와 1×1 conv는 동일한 연산임
 - ※ MLP 구조에서는 Linear layer가 연속해서 두 번 등장함
 - ※ 따라서 (b) 구조에서 Dconv의 위치를 위로 바꿔서 연산 수행
 - ✓ Dconv를 수행하는 channel size가 384에서 96으로 변경되면서 연산량 감소
 - ✓ 성능은 소폭 하락 (-0.6%)

ConvNeXt [1]

• Kernel size

- Swin Transformer의 window size가 최소 7x7 크기임
 - ※ ResNet은 3x3 kernel size를 가짐
- 따라서 kernel size를 3, 5, 7, 9, 11로 늘려가며 실험 진행
 - ※ Kernel size가 7일 때부터 성능 향상 폭이 saturation됨
- **79.9% → 80.6% (+0.7%)**

• Activation function

- ReLU to GELU
- Fewer activation function
 - ※ Transformer 구조를 살펴보면 activation function이 많지 않음
 - ✓ Embedding (x), self-attention (x), MLP 쪽에만 activation function을 사용함
 - ※ 동일하게 두 개의 1x1 conv 사이에만 GELU를 하나 사용하고 나머지는 모두 제거
- **80.6% → 81.3% (+0.7%)**

ConvNeXt [1]

• Normalization layers

- Activation layer와 동일하게 transformer 구조와 비슷하게 normalization layer 또한 줄임

※ 1x1 conv 직전에 한 번의 BN만 수행

- **81.3% → 81.4% (+0.1%)**

- BatchNorm 대신에 LayerNorm 사용

※ 일반적인 convolution layer에서 BatchNorm 대신 LayerNorm으로 바꾸면 보통 성능이 크게 하락함

※ 하지만 이전에 적용한 변경사항들에 의해서 성능이 하락하지 않고 학습이 안정적으로 진행될 수 있었음

- **81.4% → 81.5% (+0.1%)**

ConvNeXt [1]

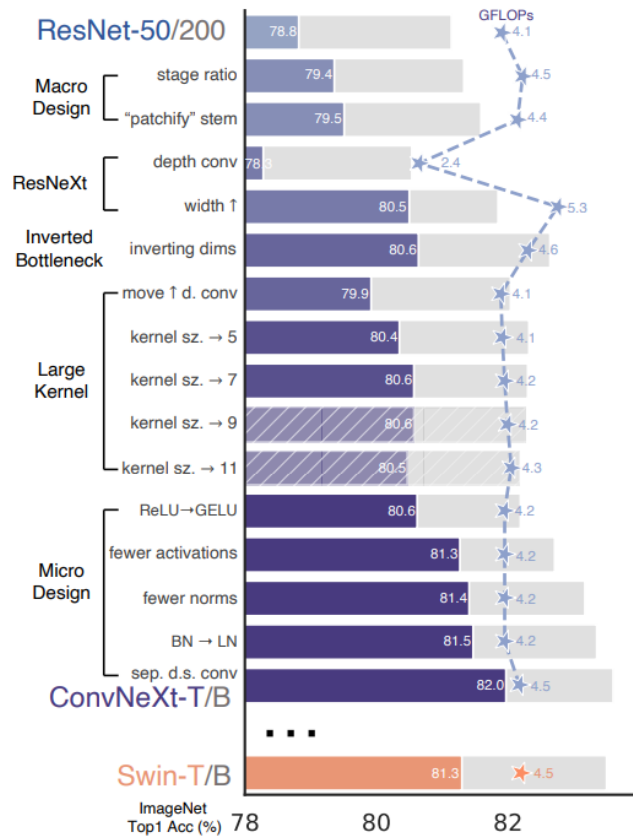
• Separate Downsampling Layers

- 기존 ResNet의 downsampling은 첫 번째 layer를 변경하여 3x3 conv, stride 2로 구성하고, shortcut connection은 1x1 conv, stride 2로 구성하여 수행하였음
- 반면 Swin Transformer를 보면 downsampling layer가 따로 구성되어 있음
- 따라서 Swin Transformer와 동일하게 따로 downsampling layer를 추가하였음
 - ※ 2x2 conv, stride 2 layer를 추가하여 사용
 - ✓ 학습 시 stabilize가 되지 않아 conv 앞에 normalization layer를 추가함
- **81.5% → 82.0% (+0.5%)**

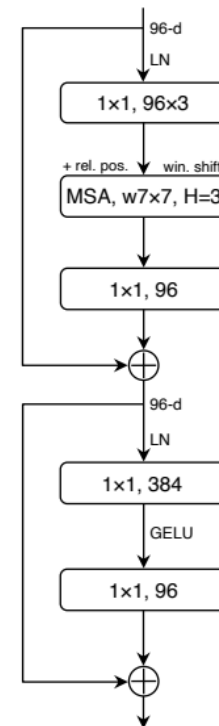
ConvNeXt [1]

- Swin-T와 동일한 FLOPs, params, throughput, memory use를 가지면서도 더 좋은 성능을 보임

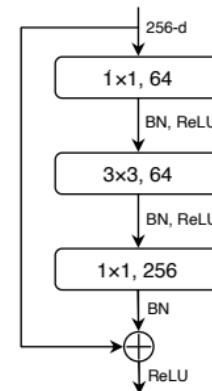
• 특히, MSA, S-MSA 와 같은 특별한 block이 필요하지 않다는 점이 의미있음



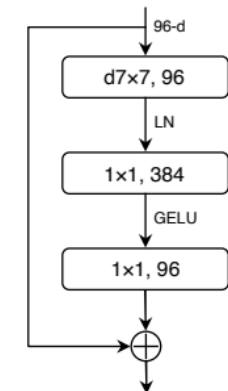
Swin Transformer Block



ResNet Block



ConvNeXt Block



ConvNeXt [1]

- Image classification (ImageNet-1K)

model	image size	#param.	FLOPs	throughput (image / s)	IN-1K top-1 acc.
ImageNet-1K trained models					
● RegNetY-16G [54]	224 ²	84M	16.0G	334.7	82.9
● EffNet-B7 [71]	600 ²	66M	37.0G	55.1	84.3
● EffNetV2-L [72]	480 ²	120M	53.0G	83.7	85.7
○ DeiT-S [73]	224 ²	22M	4.6G	978.5	79.8
○ DeiT-B [73]	224 ²	87M	17.6G	302.1	81.8
○ Swin-T	224 ²	28M	4.5G	757.9	81.3
● ConvNeXt-T	224 ²	29M	4.5G	774.7	82.1
○ Swin-S	224 ²	50M	8.7G	436.7	83.0
● ConvNeXt-S	224 ²	50M	8.7G	447.1	83.1
○ Swin-B	224 ²	88M	15.4G	286.6	83.5
● ConvNeXt-B	224 ²	89M	15.4G	292.1	83.8
○ Swin-B	384 ²	88M	47.1G	85.1	84.5
● ConvNeXt-B	384 ²	89M	45.0G	95.7	85.1
● ConvNeXt-L	224 ²	198M	34.4G	146.8	84.3
● ConvNeXt-L	384 ²	198M	101.0G	50.4	85.5

- Object detection/segmentation (COCO)

backbone	FLOPs	FPS	AP ^{box}	AP ₅₀ ^{box}	AP ₇₅ ^{box}	AP ^{mask}	AP ₅₀ ^{mask}	AP ₇₅ ^{mask}
Mask-RCNN 3× schedule								
○ Swin-T	267G	23.1	46.0	68.1	50.3	41.6	65.1	44.9
● ConvNeXt-T	262G	25.6	46.2	67.9	50.8	41.7	65.0	44.9
Cascade Mask-RCNN 3× schedule								
● ResNet-50	739G	16.2	46.3	64.3	50.5	40.1	61.7	43.4
● X101-32	819G	13.8	48.1	66.5	52.4	41.6	63.9	45.2
● X101-64	972G	12.6	48.3	66.4	52.3	41.7	64.0	45.1
○ Swin-T	745G	12.2	50.4	69.2	54.7	43.7	66.6	47.3
● ConvNeXt-T	741G	13.5	50.4	69.1	54.8	43.7	66.5	47.3
○ Swin-S	838G	11.4	51.9	70.7	56.3	45.0	68.2	48.8
● ConvNeXt-S	827G	12.0	51.9	70.8	56.5	45.0	68.4	49.1
○ Swin-B	982G	10.7	51.9	70.5	56.4	45.0	68.1	48.9
● ConvNeXt-B	964G	11.4	52.7	71.3	57.2	45.6	68.9	49.5
○ Swin-B [‡]	982G	10.7	53.0	71.8	57.5	45.8	69.4	49.7
● ConvNeXt-B [‡]	964G	11.5	54.0	73.1	58.8	46.9	70.6	51.3
○ Swin-L [‡]	1382G	9.2	53.9	72.4	58.8	46.7	70.1	50.8
● ConvNeXt-L [‡]	1354G	10.0	54.8	73.8	59.8	47.6	71.3	51.7
● ConvNeXt-XL [‡]	1898G	8.6	55.2	74.2	59.9	47.7	71.6	52.2

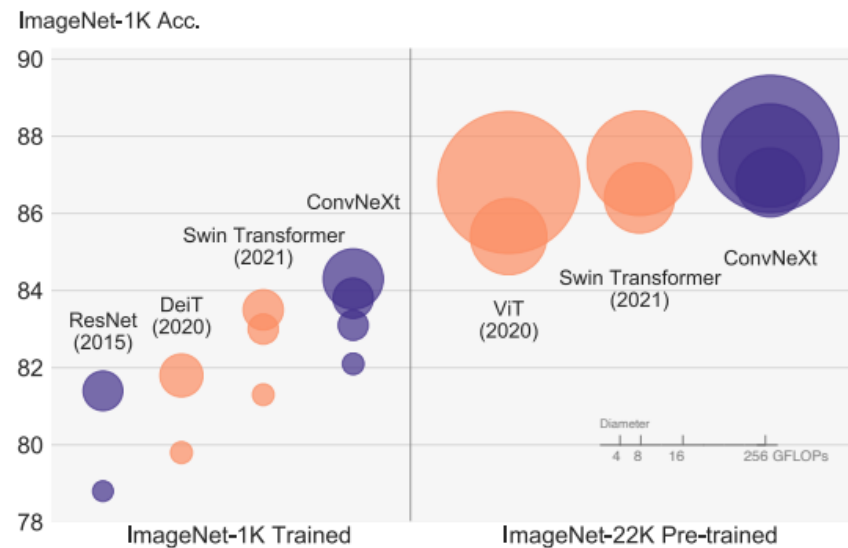
ConvNeXt [1]

- Image segmentation (ADE20K)

backbone	input crop.	mIoU	#param.	FLOPs
ImageNet-1K pre-trained				
○ Swin-T	512 ²	45.8	60M	945G
● ConvNeXt-T	512 ²	46.7	60M	939G
○ Swin-S	512 ²	49.5	81M	1038G
● ConvNeXt-S	512 ²	49.6	82M	1027G
○ Swin-B	512 ²	49.7	121M	1188G
● ConvNeXt-B	512 ²	49.9	122M	1170G
ImageNet-22K pre-trained				
○ Swin-B [‡]	640 ²	51.7	121M	1841G
● ConvNeXt-B [‡]	640 ²	53.1	122M	1828G
○ Swin-L [‡]	640 ²	53.5	234M	2468G
● ConvNeXt-L [‡]	640 ²	53.7	235M	2458G
● ConvNeXt-XL [‡]	640 ²	54.0	391M	3335G

- Isotropic style (No downsampling)

model	#param.	FLOPs	throughput (image / s)	training mem. (GB)	IN-1K acc.
○ ViT-S	22M	4.6G	978.5	4.9	79.8
● ConvNeXt-S (<i>iso.</i>)	22M	4.3G	1038.7	4.2	79.7
○ ViT-B	87M	17.6G	302.1	9.1	81.8
● ConvNeXt-B (<i>iso.</i>)	87M	16.9G	320.1	7.7	82.0
○ ViT-L	304M	61.6G	93.1	22.5	82.6
● ConvNeXt-L (<i>iso.</i>)	306M	59.7G	94.4	20.4	82.6



Masked Autoencoders [1]

- Self-Supervised Learning

- 시간이 지날수록 model 학습에 더 많은 data를 필요로 함

- 하지만 data에 접근할 수 없거나, labeling에 많은 노력이 필요함

- Language processing 분야에서는 BERT, GPT와 같은 model들이 이러한 더 많은 데이터를 학습하는데 있어 큰 성과를 보임

- ※ 데이터의 일부를 masking하고 제거된 부분을 예측하도록 학습을 수행함

- 하지만 vision 분야에서는 이러한 시도가 잘 이루어지지 못함

- Architecture의 차이가 존재

- ※ NLP는 RNN, Transformer와 같은 구조로, masking이 용이하지만 vision에서는 CNN이 주류를 이루어 masking이 용이하지 않았음

- ✓ ViT가 등장하며 이러한 부분이 해결되었음

- Information density의 차이가 존재함

- ※ Language는 density가 높아 단어 하나하나의 의미가 큰 반면, image는 각 patch의 중요도가 크지 않음

- ✓ Large ratio masking을 수행

Masked Autoencoders [1]

- MAE pretraining

- 입력 이미지에 uniform한 random masking을 수행 (image patch의 75%)

- Patch를 random shuffle하고 뒤쪽 75%를 버림

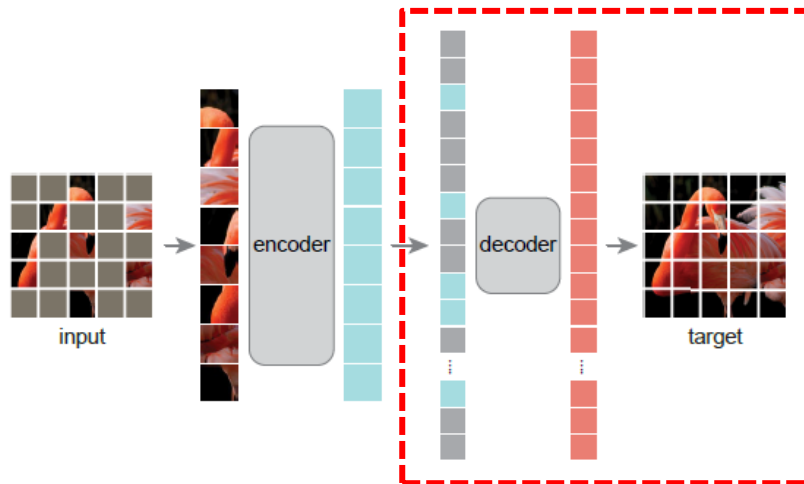
- Masking된 부분을 reconstruction (L2 loss)하는 방법으로 pretraining 수행

- ※ Masking된 부분에 대해서만 Loss를 적용함

- Masking된 patch는 encoder에 입력하지 않음

- Decoder에서는 masking된 patch도 입력하여 출력 이미지와 동일한 length의 patch를 입력

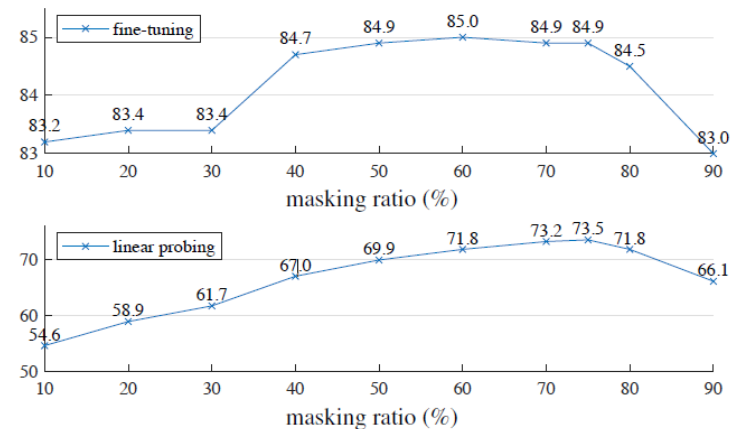
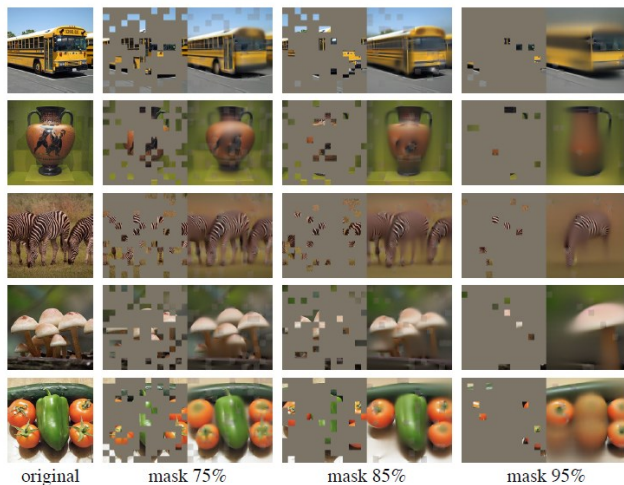
- Decoder 부분은 pretraining에서만 사용, pretrain 이후에 task에 맞게 decoder를 붙여 학습



Masked Autoencoders [1]

• High Masking Ratio

- High masking ratio를 사용하기 때문에 단순히 masking된 patch와 인접한 patch를 사용하여 채워넣는 redundancy를 제거할 수 있음
 - High ratio 자체만으로도 좋은 data augmentation이 가능하여 추가적인 어떠한 augmentation 기법을 사용하지 않음
- Masking된 patch는 encoder에 입력하지 않기 때문에 training time, memory가 크게 감소함 ($\times 3$ or more)
- Language와 다르게 image는 각 patch의 information density가 높지 않음
 - 15%정도의 masking을 수행하는 BERT와 다르게 높은 masking 비율을 사용 가능함

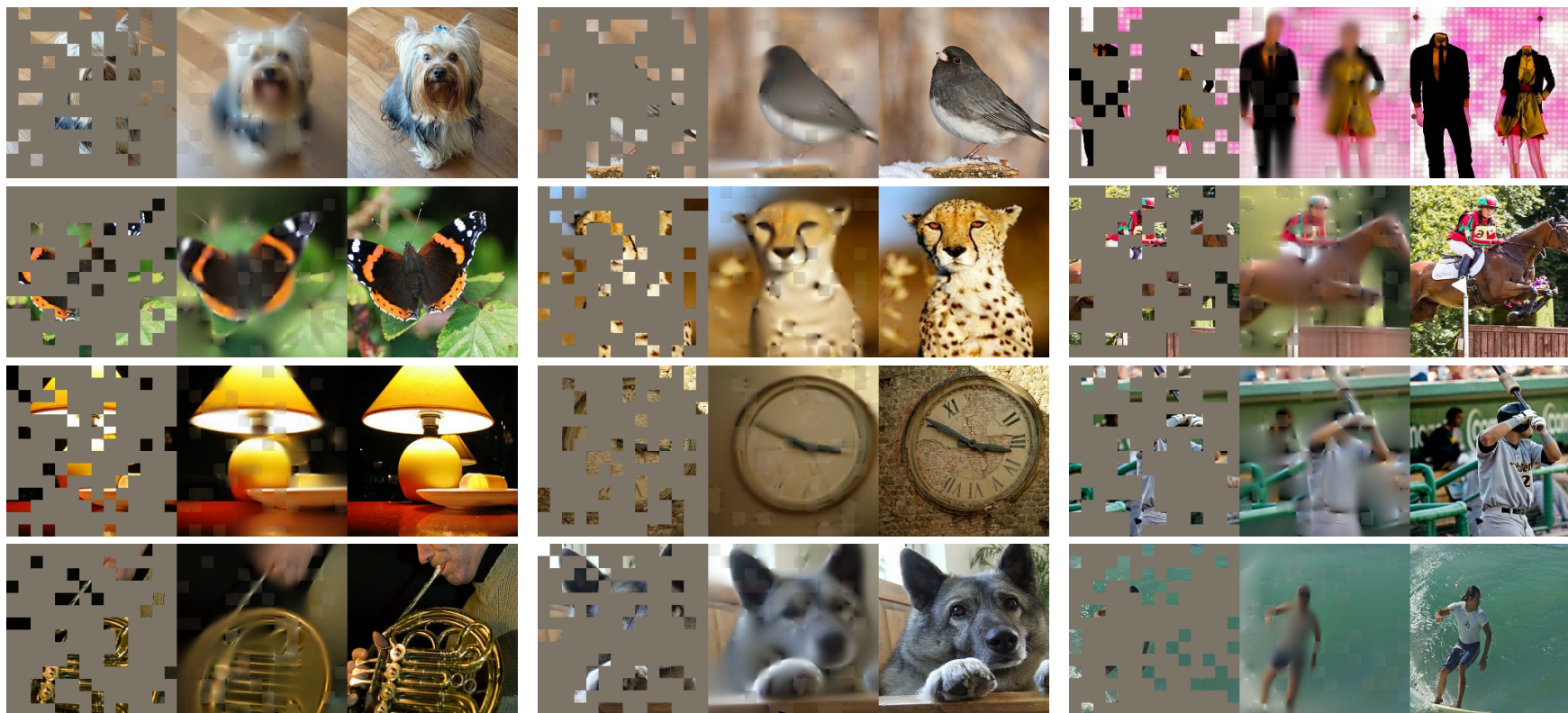


Masked Autoencoders [1]

- Experimental results

- Pretrained MAE에 validation set reconstruction test

- 동일하게 75% masking 수행 후 reconstruction을 수행



Masked Autoencoders [1]

• Experimental results

▪ For ImageNet-1K

scratch, original [16]	scratch, our impl.	baseline MAE
76.5	82.5	84.9

- Finetuning 방법을 사용하면 scratch부터 학습한 결과보다 항상 더 좋음

▪ Decoder

- Finetuning과 Linear probing이 uncorrelated된 경향을 보임

※ Linear probing에서는 decoder의 depth가 중요함

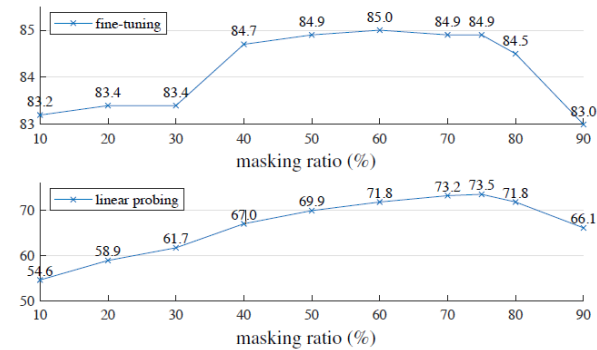
※ 반면 Finetuning에서는 중요하지 않은 것으로 보임

※ 이는 autoencoder의 마지막 몇 개 layer는 recognition이 아닌 reconstruction에 특화되어 있는데, finetuning에서는 이들이 recognition task에 adapt할 수 있는 반면, linear probing에서는 그럴 수 없기 때문인 것으로 보임

- 8개의 block, 512 dim을 선택하였는데, 이는 ViT-L의 9%인 FLOPs를 갖음

blocks	ft	lin
1	84.8	65.5
2	84.9	70.0
4	84.9	71.9
8	84.9	73.5
12	84.4	73.3

(a) **Decoder depth.** A deep decoder can improve linear probing accuracy.



dim	ft	lin
128	84.9	69.1
256	84.8	71.3
512	84.9	73.5
768	84.4	73.1
1024	84.3	73.1

(b) **Decoder width.** The decoder can be narrower than the encoder (1024-d).

Image Inpainting via MAE^[1]

- Image inpainting 분야에 MAE를 도입
 - MAE를 통해 pretrain한 prior들을 사용하여 이미지의 masking된 부분을 복원
 - Mask에 인접한 meaningless한 texture 복사가 아닌 prior를 활용하여 mask된 부분 복원
 - 논문에서 주된 비교 대상으로 사용하고 있는 LaMa는 Fast Fourier Convolution을 사용하여 반복되는 패턴에 대해 강점을 갖고 있음
 - ※ 하지만 detailed prior가 없기 때문에 blurry한 결과 / 반복적이기만 한 inpainting 결과



(a) Masked image

(b) MAE

(c) LaMa

(d) Ours

Image Inpainting via MAE^[1]

- Model architecture

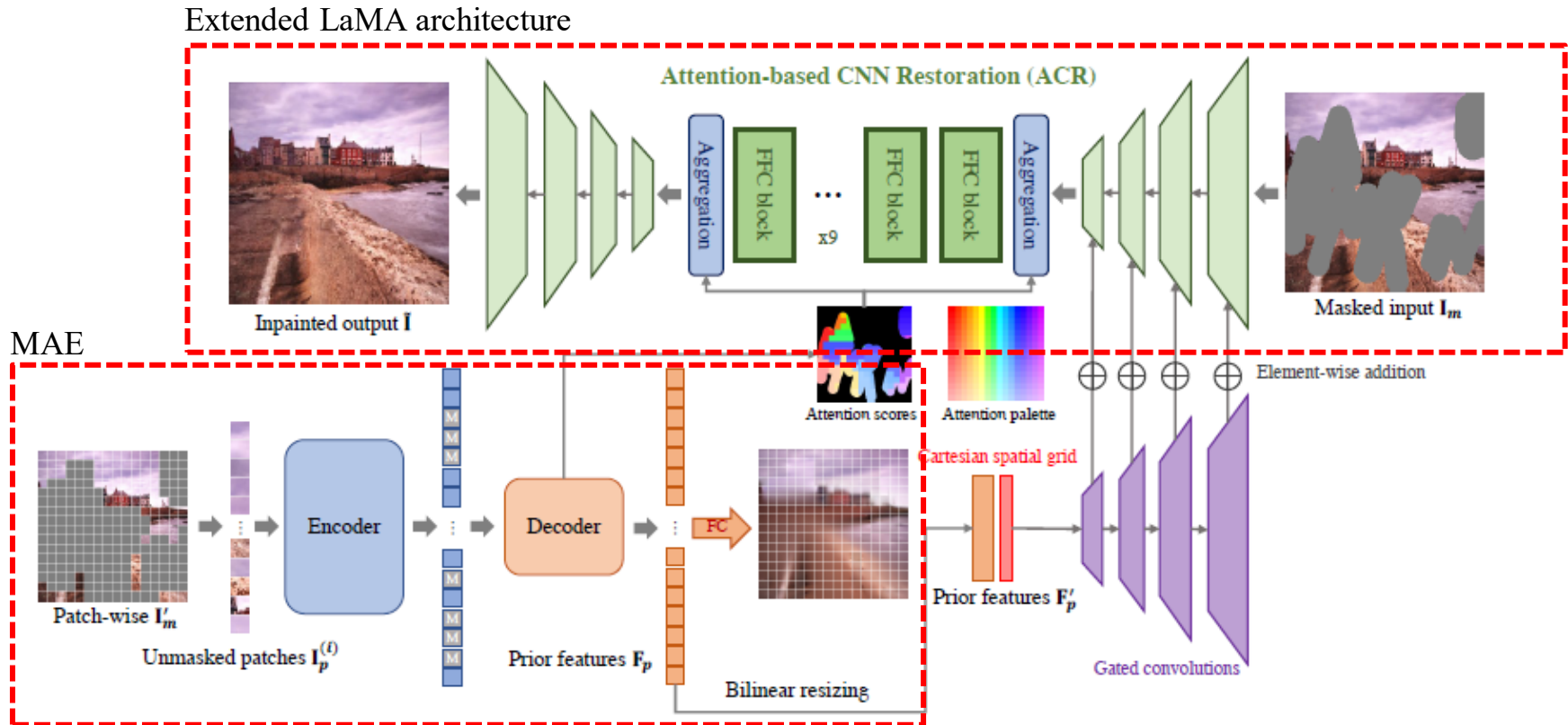
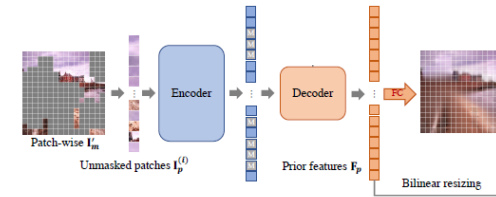
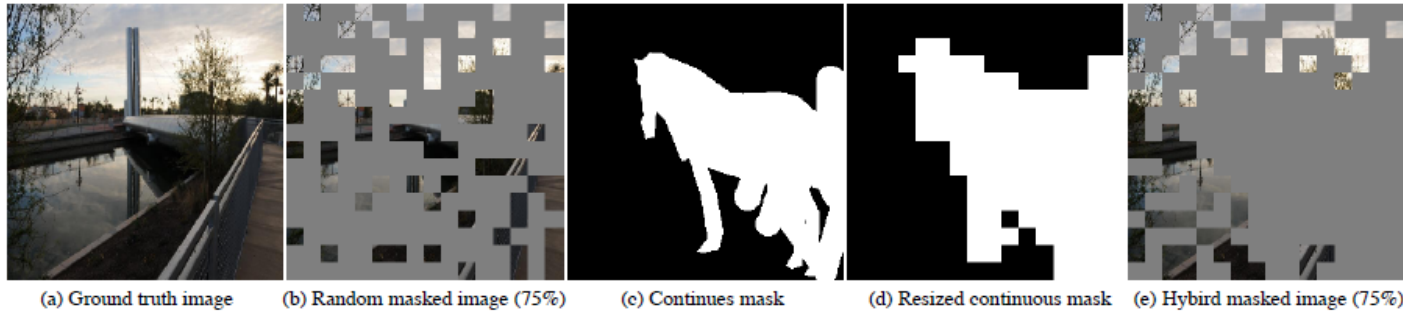


Image Inpainting via MAE^[1]

• MAE로 prior 학습

- 기존 MAE와 다르게 inpainting 분야에서는 mask가 연속적으로 붙어 있음

※ 따라서 기존 mask와 연속적인 mask를 결합하여 75%의 masking 비율을 만듦



- MAE는 finetuning을 통해 decoder를 따로 학습하여 task에 적용함

- 반면, inpainting은 masked 영역에 생성되는 patch의 정보를 필요로 함

※ 따라서 encoder보다는 decoder에서 feature를 가져와야 함

✓ 따라서 가벼웠던 기존의 decoder를 변경하여 encoder와 균형 있게 decoder를 설정함

✓ Encoder : 12 layers / Decoder : 8 layers

※ MAE의 linear projection 직전의 feature를 가져옴

Image Inpainting via MAE^[1]

- MAE pretraining

- Places2, FFHQ dataset에 대해 학습

- MAE 논문에서 ImageNet-1K에 학습된 model을 사용하여 ablation 비교

- ※ 해당 논문에서는 classification 성능을 위해 patch별로 normalization을 수행하였는데 image inpainting에서는 global normalization을 수행해야 함

- Pretrained된 Encoder + Decoder를 사용하고, 마지막 linear projection layer를 추가하여 finetuning을 수행하여 학습하였음



(a) Origin input

(b) Masked input

(c) MAE w/o ft

(d) MAE w/o ft+ACR

(e) MAE with ft

(f) MAE with ft+ACR

Image Inpainting via MAE^[1]

- Attention-based CNN Restoration (ACR)
 - Masked input는 4개의 downsampling layer
 - Prior feature는 4개의 upsampling를 각각 통과하여 feature를 더해 주었음
 - Arbitrary resolution에 대해 robust한 성능을 보장하기 위함
 - 이를 위해 MAE로부터 얻은 prior feature를 1/8배 bilinear interpolation을 수행함
 - 이후 cartesian spatial grid를 더해 continuous position을 embedding하여 주었음
 - 두 feature를 더하기 전에 prior feature의 각 level에 $\alpha_1, \alpha_2, \alpha_3, \alpha_4$ 를 곱함
 - Trainable parameter로, 0으로 initialize
- Prior Attentions
 - LaMa에 contextual attention을 양 끝에 추가하였음
 - Masked patch와 unmasked patch의 attention score를 곱해 masked patch의 feature를 aggregate하여 더함
 - ※ 하지만 추가적인 성능 향상을 볼 수 없었음
 - ※ 저자는 CNN의 limited capacity를 이유로 보고 있음

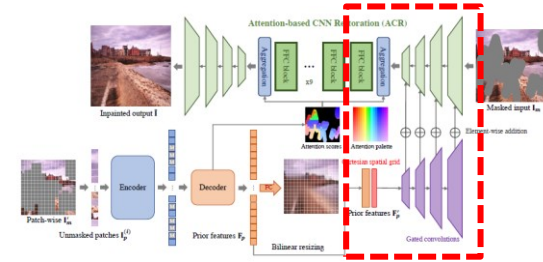


Image Inpainting via MAE^[1]

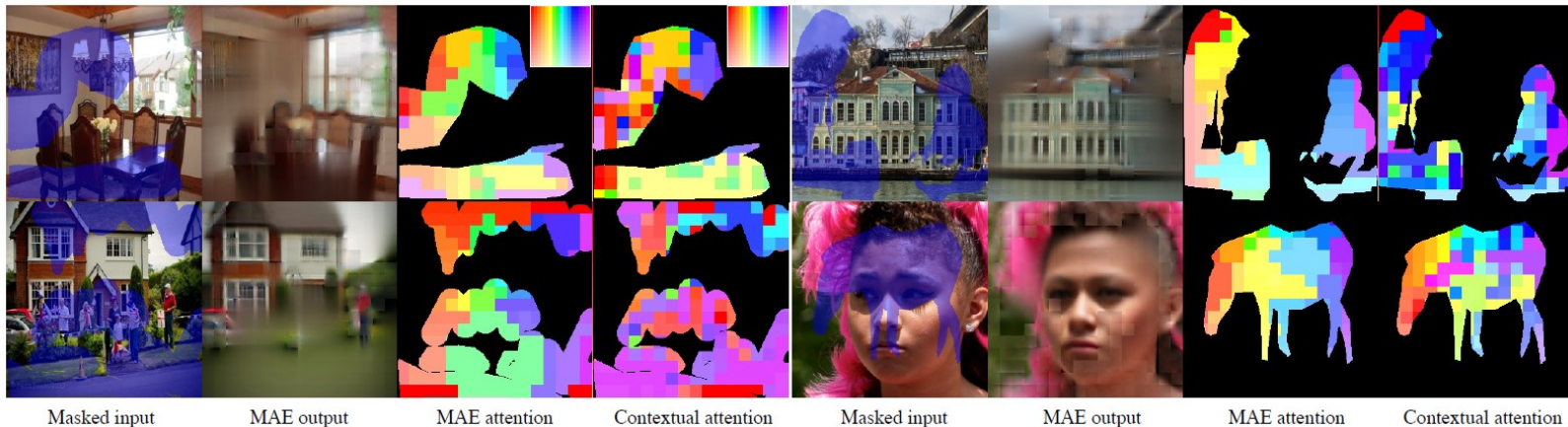
• Prior Attentions

- 따라서, decoder의 각 layer에서 계산된 attention score를 사용함

$$\mathbf{R}_{u,m}^{(l)} = \text{softmax}\left(\frac{\mathbf{Q}^{(l)}\mathbf{K}^{(l)T}}{\sqrt{d}} - \text{inf} \cdot \mathbf{M}\right),$$

- Masked attention score를 구했기 때문에, 모든 attention score는 unmasked region에만 주어짐

- 8개의 decoder layer에서 나온 8개의 score를 평균을 내어 attention score로 사용함



MAE mask type	attention type	PSNR↑	SSIM↑	FID↓	LPIPS↓
mixed	no attention	24.34	0.860	26.84	0.117
mixed	trainable CA	24.13	0.859	26.99	0.123
random	prior attention	24.39	0.861	26.25	0.117
mixed	prior attention	24.51	0.864	25.49	0.113

Image Inpainting via MAE^[1]

- Experimental results

(A) 256x256 FFHQ



(a) Masked input

(b) Co-Mod

(c) LaMa

(d) Ours

(B) 1024x1024 results



(a) Masked input

(b) MAE output

(c) LaMa

(d) Ours

	FFHQ			Places2				
	Co.	La.	Ours	EC	Co.	La.	CT.	Ours
P.↑	25.2	26.6	26.8	23.3	22.5	24.3	23.4	24.5
S.↑	.889	.903	.906	.839	.843	.869	.835	.871
F.↓	5.85	6.38	6.15	6.21	1.49	1.63	11.2	1.31
L.↓	.085	.078	.074	.149	.246	.155	.185	.101

< 256x256 FFHQ, Places2 >

	P.↑	S.↑	F.↓	L.↓
Hi.	20.1	.764	65.4	.291
Co.	22.0	.843	30.0	.166
La.	24.1	.877	27.8	.149
Ours	24.3	.880	25.3	.119

< 512x512 Places2 >

Image Inpainting via MAE^[1]

- Experimental results



ConvNeXt V2

• ConvNeXt + MAE

• 간단하게 앞서 설명된 내용을 융합하여 학습에 사용

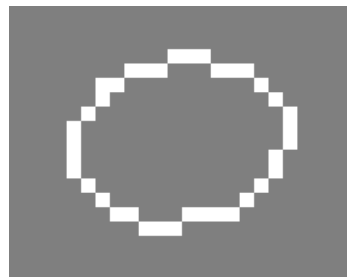
- ViT와 다르게 Convolution에 masking을 수행하는것은 매우 까다로움

- 저자는 3D Pointcloud에서 영감을 받아 submainfold sparse convolution으로 이를 극복

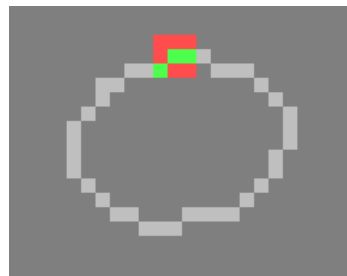
※ Mask에 해당하는 부분만 convolution연산에 사용함

- Masking은 downsampling의 마지막 단계에서 60% pixel에 대해 수행

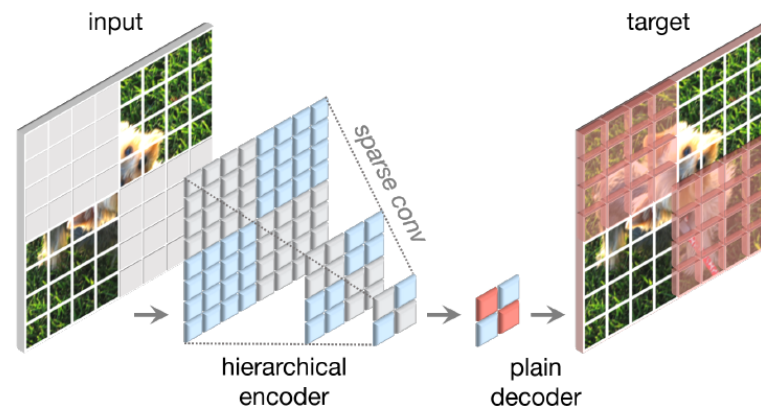
※ Fine tuning 단계에서는 original conv로 대체하여 학습



< Normal Conv >



< Submainfold Sparse Convolution >



ConvNeXt V2

- TPU, AI accelerator friendly method

- Sparse Conv 대신 dense convolution 수행 이전, 이후에 binary mask를 곱함
 - 동일한 연산을 하면서 특정 기기에서 빠르게 수행할 수 있는 방법 또한 제안함

- Decoder design

- 실험적으로 가볍고 단순한 decoder 설계가 finetuning하였을 때 좋은 결과를 보임

dec. type	ft	hours	speedup
UNet w/ skip	83.7	12.9	-
UNet w/o skip	83.5	12.9	-
Transformer [31]	83.4	8.5	1.5×
ConvNeXt block	83.7	7.7	1.7×

(a) **Decoder design.** A simple convolutional block outperforms more complex decoder designs.

blocks	ft
1	83.7
2	83.5
4	83.7
8	83.6
12	83.3

(b) **Decoder depth.** A single block yields competitive fine-tuning performance.

dim	ft
128	83.5
256	83.7
512	83.7
768	83.6
1024	83.5

(c) **Decoder width.** A decoder width of 256 or 512 achieves the best performance.

- Experimental Results

w/o Sparse conv.	w/ Sparse conv.
79.3	83.7

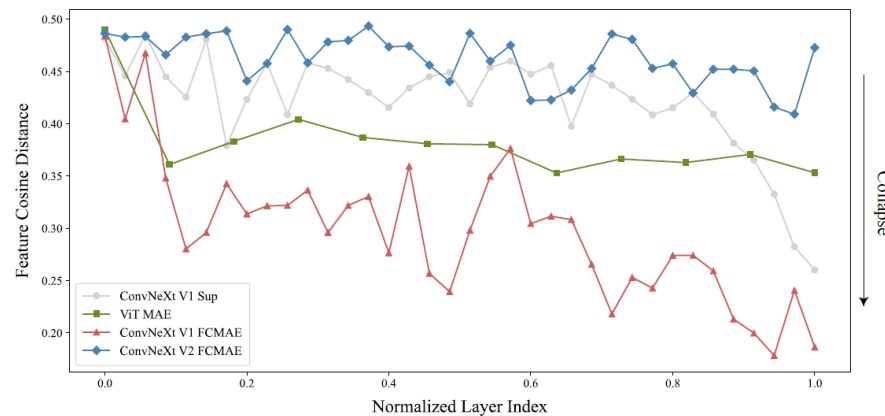
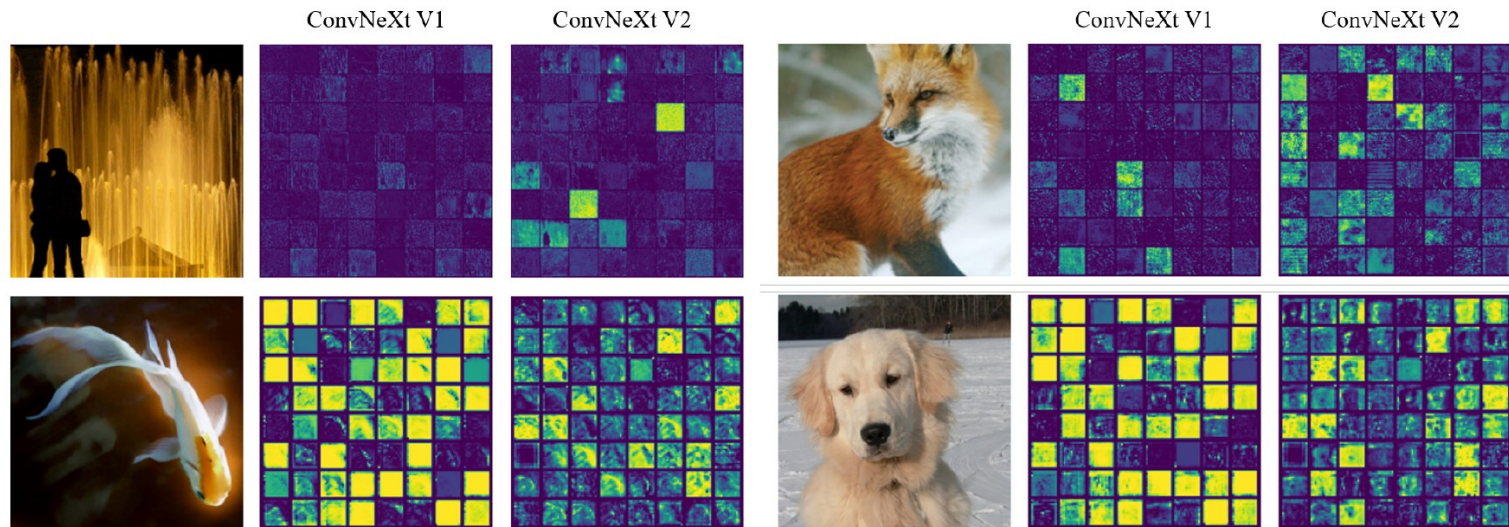
ConvNeXt V1
↓

Sup, 100ep	Sup, 300ep. [52]	FCMAE
82.7	83.8	83.7

ConvNeXt V2

- Global Response Normalization (GRN)

- ConvNeXt V1의 feature activation map 을 visualize한 결과, collapse가 쉽게 일어남



ConvNeXt V2

• Global Response Normalization (GRN)

- 뇌의 뉴런에서 영감을 얻어, 이웃에 있는 세포를 억제하는 lateral inhibition을 수행
- 총 3 단계로 구성됨

- Global feature Aggregation

- ※ 각 채널의 feature를 pooling하여 scalar화함
- ※ Pooling 방식은 실험 결과 L2 norm을 사용함

case	ft
g.avg.	83.7
L1	84.3
L2	84.6

(a) **Global aggregation** $G(\cdot)$. L2 Norm-based aggregation function produces the best result.

- Feature normalization

- ※ Pooling된 scalar 값들에 normalization을 수행
- ※ Normalization은 실험 결과 divisive normalization을 사용
- ※ 상호 억제를 통해 채널 간에 feature를 pooling한 scalar에 대해 경쟁을 발생시킴

case	ft
$(\ X_i\ - \mu)/\sigma$	84.5
$1/\sum \ X_i\ $	83.8
$\ X_i\ /\sum \ X_i\ $	84.6

(b) **Normalization operator**, $N(\cdot)$. Divisive normalization is an effective channel importance calibrator.

- Feature Calibration

- ※ 계산된 normalization score를 input response에 곱함

$$X_i = X_i * \mathcal{N}(\mathcal{G}(X)_i) \in \mathcal{R}^{H \times W}$$

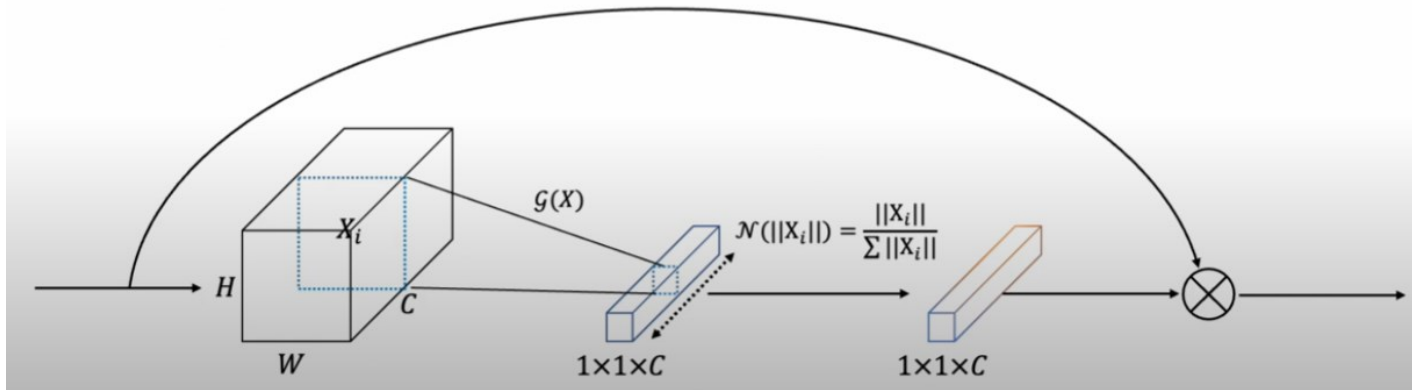
$$\gamma * X_i * \mathcal{N}(\mathcal{G}(X)_i) + \beta + X_i.$$

- ✓ 최적화를 위해 learnable parameter를 추가하고 0으로 초기화

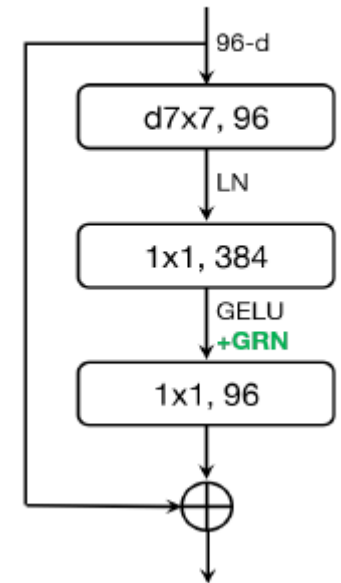
- ✓ Residual Connection 추가

ConvNeXt V2

- Global Response Normalization (GRN)



ConvNeXt V2 Block



- Experimental Results

case	ft	Backbone	Method	#param	FLOPs	Val acc.
Baseline	83.7	ConvNeXt V1-B	Supervised	89M	15.4G	83.8
LRN [45]	83.2	ConvNeXt V1-B	FCMAE	89M	15.4G	83.7
BN [41]	80.5	ConvNeXt V2-B	Supervised	89M	15.4G	84.3 (+0.5)
LN [2]	83.8	ConvNeXt V2-B	FCMAE	89M	15.4G	84.6 (+0.8)
GRN	84.6	ConvNeXt V1-L	Supervised	198M	34.4G	84.3
		ConvNeXt V1-L	FCMAE	198M	34.4G	84.4
		ConvNeXt V2-L	Supervised	198M	34.4G	84.5 (+0.2)
		ConvNeXt V2-L	FCMAE	198M	34.4G	85.6 (+1.3)

(d) Feature normalization. GRN outperforms other normalizations through global contrasting.

ConvNeXt V2

- Experimental Results

Backbone	Method	#param	PT epoch	FT acc.
ViT-B	BEiT	88M	800	83.2
ViT-B	MAE	88M	1600	83.6
Swin-B	SimMIM	88M	800	84.0
ConvNeXt V2-B	FCMAE	89M	800	84.6
ConvNeXt V2-B	FCMAE	89M	1600	84.9
ViT-L	BEiT	307M	800	85.2
ViT-L	MAE	307M	1600	<u>85.9</u>
Swin-L	SimMIM	197M	800	85.4
ConvNeXt V2-L	FCMAE	198M	800	85.6
ConvNeXt V2-L	FCMAE	198M	1600	85.8
ViT-H	MAE	632M	1600	<u>86.9</u>
Swin V2-H	SimMIM	658M	800	85.7
ConvNeXt V2-H	FCMAE	659M	800	85.8
ConvNeXt V2-H	FCMAE	659M	1600	86.3

- Base model : pretrain 800 epochs + finetuning 100 epochs

감사합니다